

Предложения
по реализации умножения в поле Галуа
над неприводимым многочленом
на примере преобразования L
в алгоритме ГОСТ Р 34.12-2015

магистрант¹, инженер² Салимов Г. Ю.,
ПГУ¹, АО “ПНИЭИ”², г. Пенза.
salimovgorik@mail.ru

План исследования

1. Обзор существующих методов;
2. Математическое описание умножение в поле Галуа над неприводимым многочленом;
3. Имплементация на языке программирования высокого уровня;
4. Экспериментальное исследование на различных вычислительных системах.

Проанализированные реализации алгоритма шифрования

Автор	Источник	Тип реализации L
1. ТК 26	tc26.ru/standard/gost/PR_GOSTR_bch_v6.zip https://tc26.ru/standard/draft/PR_GOSTR-bch_v3.zip	Таблица
2. Маркку Сааринен (Markku-Saarien)	https://github.com/mjosaarinen/kuznechik	Алгоритм
3. Роман Олейников	https://github.com/Roman-Oliynykov/ciphers-speed	Таблица
4. Эрих Фийол (Eric Filiol)	https://drive.google.com/file/d/0B6BlkqAoxXq1bDJURGRhamtPb00/view?pli=1	Таблица
5. Thomas Aprelev @aprlv, C99 SSE2	https://github.com/aprelev/lg15	Таблица
6. Maxim Gorky @sebastian_mg	https://habr.com/ru/users/sebastian_mg/	Таблица
7. Максим Тишков	https://github.com/MaXaMaR/kuznezhik	Алгоритм
8. @stargrave2, Python	http://git.cypherpunks.ru/cgit.cgi/gogost.git/	Таблица
9. Aleksey Never, Python	https://github.com/NeverWalkAloner/Cryptography-standards	Алгоритм
10. Alexander Venedioukhin, GO	https://dxdt.ru/golang/gost/cipher/kuznec/kuznec.go	Алгоритм
11. Nikolai Kim @yaruson	https://github.com/yaruson/GostPlugin	Алгоритм
12. @ru_cryptf, подборка	https://habr.com/ru/post/273055/	Алгоритм/Таблица
13. Анонимная реализация	https://sourceforge.net/projects/cppcrypto/	Таблица
14.Эрей Бьянски (Erie Banksy)	https://github.com/ErieBanksy/GOST-R-34.12-2015	Алгоритм

Влияние реализации преобразования L на использование ресурсов вычислительной системы

Критерий	Алгоритмическая реализация (прямое вычисление произведения)	Табличная реализация (использование таблиц предвычислений)
Скорость	Низкая	Высокая
Расход памяти	Низкий	Высокий
Преимущества	<ul style="list-style-type: none"> • Низкое потребление памяти; • Возможность реализации на малоресурсных микроконтроллерах; • Независима от введения нового полинома, коэффициентов умножения. 	Высокая скорость шифрования/дешифрования
Недостатки	Не высокая скорость шифрования/дешифрования	<ul style="list-style-type: none"> • Необходимо хранить таблицу предвычислений; • Отсутствие возможности реализации на малоресурсных микроконтроллерах; • Необходимо перепроектировать работу с таблицей при изменении полинома либо коэффициентов умножения.

Преобразование L

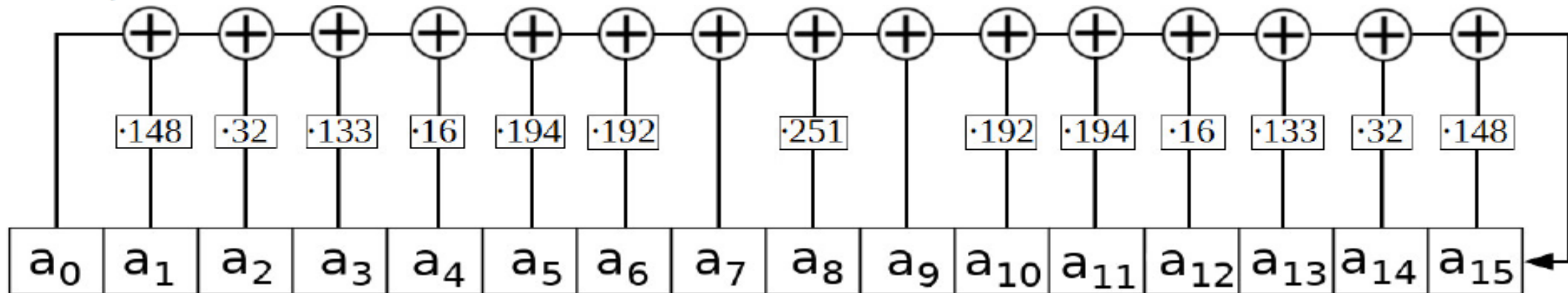
Согласно ГОСТ 34.11-2015 – Блочные шифры:

4.1.2 Линейное преобразование

Линейное преобразование задается отображением $\ell: V_8^{16} \rightarrow V_8$, которое определяется следующим образом:

$$\begin{aligned} \ell(a_{15}, \dots, a_0) = & \nabla(148 \cdot \Delta(a_{15}) + 32 \cdot \Delta(a_{14}) + 133 \cdot \Delta(a_{13}) + 16 \cdot \Delta(a_{12}) + \\ & 194 \cdot \Delta(a_{11}) + 192 \cdot \Delta(a_{10}) + 1 \cdot \Delta(a_9) + 251 \cdot \Delta(a_8) + 1 \cdot \Delta(a_7) + 192 \cdot \Delta(a_6) + \\ & 194 \cdot \Delta(a_5) + 16 \cdot \Delta(a_4) + 133 \cdot \Delta(a_3) + 32 \cdot \Delta(a_2) + 148 \cdot \Delta(a_1) + 1 \cdot \Delta(a_0)) \end{aligned} \quad (1)$$

для любых $a_i \in V_8, i = 0, 1, \dots, 15$, где операции сложения и умножения осуществляются в поле \mathbb{F} , а константы являются элементами поля в указанном ранее смысле.



Математическое описание умножение в поле Галуа над неприводимым многочленом α

Стандартный вариант

$$x = (x_m, x_{m-1}, \dots, x_1, x_0);$$

$$\alpha * x = \begin{cases} (x_{m-1}, \dots, x_1, x_0, 0), & x_m = 0; \\ (x_{m-1}, \dots, x_1, x_0, 0) \oplus \alpha, & x_m = 1. \end{cases}$$

Предлагаемый вариант

$$x = (x_m, x_{m-1}, \dots, x_1, x_0);$$

$$\alpha * x = (x_{m-1}, \dots, x_1, x_0, 0) \oplus [\alpha \cdot \{x_m\}].$$

Подход применен в [6, 9, 10, 11, 12]

Реализация умножения в поле Галуа в преобразовании $L_{Алг}$

Стандартный вариант

Предлагаемый вариант

$L:$

$$r = \bigoplus_{i=1}^{16} mult(x^{(i)}, y^{(i)})$$

$mult(x, y):$

$$r = r \oplus x, \text{ если } y_j = 1$$

$$\alpha * x = \begin{cases} (x_{m-1}, \dots, x_1, x_0, 0), & x_m = 0; \\ (x_{m-1}, \dots, x_1, x_0, 0) \oplus \alpha, & x_m = 1. \end{cases}$$

$$j = \overline{1 \dots 8}$$

$$y = \{251, \quad 1, 192, 194, 16, 133, \quad 32, 148, \\ 1, 148, \quad 32, 133, 16, 194, 192, \quad 1\}.$$

$L:$

$$r = \bigoplus_{i=1}^{16} \bigoplus_{j=1}^8 \left[\begin{array}{l} x^{(i)}, \text{ если } y^{(i)}_j = 1 \\ x^{(i)} = (x^{(i)} \lll 1) \oplus \alpha \cdot (x^{(i)} \ggg 7) \end{array} \right]$$

$$y = \{251, \quad 1, 192, 194, 16, 133, \quad 32, 148, \\ 1, 148, \quad 32, 133, 16, 194, 192, \quad 1\}.$$

Реализация умножения в поле Галуа в преобразовании $L_{Алг}$

Стандартный вариант

Предлагаемый вариант (I изменение)

$L:$

$$r = \bigoplus_{i=1}^{16} mult(x^{(i)}, y^{(i)})$$

$mult(x, y):$

$$r = r \oplus x, \text{ если } y_j = 1$$

$$\alpha * x = \begin{cases} (x_{m-1}, \dots, x_1, x_0, 0), & x_m = 0; \\ (x_{m-1}, \dots, x_1, x_0, 0) \oplus \alpha, & x_m = 1. \end{cases}$$

$$j = \overline{1 \dots 8}$$

$$y = \{251, \quad 1, 192, 194, 16, 133, \quad 32, 148, \\ 1, 148, \quad 32, 133, 16, 194, 192, \quad 1\}.$$

Подход применен в [6, 9, 10, 11, 12]

$L:$

$$r = \bigoplus_{i=1}^{16} \bigoplus_{j=1}^8 \left[\underbrace{x^{(i)}, \text{ если } y^{(i)}_j = 1}_{m^*} \right]$$

$$y = \{251, \quad 1, 192, 194, 16, 133, \quad 32, 148, \\ 1, 148, \quad 32, 133, 16, 194, 192, \quad 1\}.$$

Реализация умножения в поле Галуа в преобразовании $L_{Алг}$

Разложим m^* . Заметим,
что последнее
выражение не влияет
на результат.

Следовательно, можно
упростить m^* .

$$y = \{251, \quad 1, 192, 194, 16, 133, \quad 32, 148, \\ 1, 148, \quad 32, 133, 16, 194, 192, \quad 1\}.$$

m^* :

$$r = r \oplus x^{(i)} * (y^{(i)} \& 0x01)$$

$$x^{(i)} = (x^{(i)} \ll 1) \oplus \alpha \cdot (x^{(i)} \gg 7)$$

$$r = r \oplus x^{(i)}, \text{ если } y^{(i)}_2 = 1$$

$$x^{(i)} = (x^{(i)} \ll 1) \oplus \alpha \cdot (x^{(i)} \gg 7)$$

.....

$$r = r \oplus x^{(i)}, \text{ если } y^{(i)}_8 = 1$$

$$x^{(i)} = (x^{(i)} \ll 1) \oplus \alpha \cdot (x^{(i)} \gg 7)$$

Реализация умножения в поле Галуа в преобразовании $L_{Алг}$

Полученное
выражение назовем
 m^{**} .

m^{**} :

$$r = r \oplus x^{(i)} * (y^{(i)} \& 0x01)$$

$$x^{(i)} = (x^{(i)} \ll 1) \oplus \alpha \cdot (x^{(i)} \gg 7)$$

$$r = r \oplus x^{(i)}, \text{ если } y_2^{(i)} = 1$$

$$x^{(i)} = (x^{(i)} \ll 1) \oplus \alpha \cdot (x^{(i)} \gg 7)$$

.....

$$r = r \oplus x^{(i)}, \text{ если } y_8^{(i)} = 1$$

$$y = \{251, \quad 1, 192, 194, 16, 133, \quad 32, 148, \\ 1, 148, \quad 32, 133, 16, 194, 192, \quad 1\}.$$

Реализация умножения в поле Галуа в преобразовании $L_{Алг}$

Стандартный вариант

$L:$

$$r = \bigoplus_{i=1}^{16} mult(x^{(i)}, y^{(i)})$$

$mult(x, y):$

$$r = r \oplus x, \text{ если } y_j = 1$$

$$\alpha * x = \begin{cases} (x_{m-1}, \dots, x_1, x_0, 0), & x_m = 0; \\ (x_{m-1}, \dots, x_1, x_0, 0) \oplus \alpha, & x_m = 1. \end{cases}$$

$$j = \overline{1 \dots 8}$$

$$y = \{251, \quad 1, 192, 194, 16, 133, \quad 32, 148, \\ 1, 148, \quad 32, 133, 16, 194, 192, \quad 1\}.$$

Подход применен в [6, 9, 10]

Предлагаемый вариант(II изменение)

$L:$

$$r = \bigoplus_{i=1}^8 (m^{**}_i \oplus m^{**}_{i+8})$$

Реализация умножения в поле Галуа в преобразовании $L_{Алг}$

$m_i^{**} :$

$$r = r \oplus x^{(i)} \cdot (y^{(i)} \ \& \ 0x01)$$

$$x^{(i)} = (x^{(i)} \lll 1) \oplus \alpha \cdot (x^{(i)} \ggg 7)$$

$$r = r \oplus x^{(i)}, \text{ если } y_2^{(i)} = 1$$

$$x^{(i)} = (x^{(i)} \lll 1) \oplus \alpha \cdot (x^{(i)} \ggg 7)$$

.....

$$r = r \oplus x^{(i)}, \text{ если } y_8^{(i+8)} = 1$$

$m_{i+8}^{**} :$

$$r = r \oplus x^{(i+8)} \cdot (y^{(i+8)} \ \& \ 0x01)$$

$$x^{(i+8)} = (x^{(i+8)} \lll 1) \oplus \alpha \cdot (x^{(i+8)} \ggg 7)$$

$$r = r \oplus x^{(i+8)}, \text{ если } y_2^{(i+8)} = 1$$

$$x^{(i+8)} = (x^{(i+8)} \lll 1) \oplus \alpha \cdot (x^{(i+8)} \ggg 7)$$

.....

$$r = r \oplus x^{(i+8)}, \text{ если } y_8^{(i+8)} = 1$$

$$y = \{251, \quad 1, 192, 194, 16, 133, \quad 32, 148, \\ 1, 148, \quad 32, 133, 16, 194, 192, \quad 1\}.$$

Реализация умножения в поле Галуа в преобразовании $L_{Алг}$

Применительно к тем значениям y , которые представлены в ГОСТ 34.11-2015 – Блочные шифры.

$y = \{251, 1, 192, 194, 16, 133, 32, 148, 1, 148, 32, 133, 16, 194, 192, 1\}$.

m^{**} :

$$r = r \oplus x^{(i)} * (y^{(i)} \& 0x01)$$

$$x^{(i)} = (x^{(i)} \lll 1) \oplus \alpha \cdot (x^{(i)} \ggg 7)$$

если $y^{(i)} > 1$

$$r = r \oplus x^{(i)}, \text{ если } y^{(i)}_2 = 1$$

$$x^{(i)} = (x^{(i)} \lll 1) \oplus \alpha \cdot (x^{(i)} \ggg 7)$$

.....

$$r = r \oplus x^{(i)}, \text{ если } y^{(i)}_6 = 1$$

если $y^{(i)} > 127$

$$x^{(i)} = (x^{(i)} \lll 1) \oplus \alpha * (x^{(i)} \ggg 7)$$

$$r = r \oplus x^{(i)}, \text{ если } y^{(i)}_7 = 1$$

$$r = (x^{(i)} \lll 1) \oplus \alpha * (x^{(i)} \ggg 7)$$

Программная реализация умножения в поле Галуа в преобразовании L_{Alg}

Стандартный вариант

```
byte mul_gf(byte x, byte y) {
    byte p = 0;
    for (byte i = 0; i < 8; i++)
    {
        if ((y & 1) != 0)
            p ^= x;
        byte hi_bit_set = (byte)(x & 0x80);
        x <<= 1;
        if (hi_bit_set != 0)
            x ^= 0xC3; //  $x^8+x^7 + x^6 + x + 1$ 
        y >>= 1;
    }
    return p;
}
```

Предлагаемый вариант

```
byte mul_gf(byte x, byte y) {
    byte p = 0;
    for (byte i = 0; i < 8; i++)
    {
        p ^= x * (y & (1 << i));
        x = (x << 1) ^ (0xC3 * (x >> 7));
    }
    return p;
}
```

Программная реализация умножения в поле Галуа в преобразовании L_{Alg}

Стандартный вариант

```
byte mul_gf(byte x, byte y)
{
    byte p = 0;
    while( y )
    {
        if ((y & 1) != 0)
            p ^= x;
        x = (x << 1) ^ (x & 0x80 ? 0xC3 : 0);
        y >>= 1;
    }
    return p;
}
```

Предлагаемый вариант

```
byte mul_gf(byte x, byte y)
{
    byte p = 0;
    while( y )
    {
        p ^= x * (y & 1);
        x = (x << 1) ^ (0xC3 * (x >> 7));
        y >>= 1;
    }
    return p;
}
```

Подход применен в [2]

Программная реализация умножения в поле Галуа в преобразовании L_{Alg}

Стандартный вариант

```
BYTE ConversionL(ULONGLONG block[ 2 ])
BYTE a[ 16 ];
for (BYTE i = 0; i < 16; i++)
    if (i < 8)
        a[ i ] = block[ 0 ] >> (8 * i);
    else
        a[ i ] = block[ 1 ] >> (8 * (i % 8));

BYTE val = mul_gf( a[ 7 ], 148 );
val ^= mul_gf( a[ 6 ], 32 );
val ^= mul_gf( a[ 0 ], 251 );
.....
val ^= mul_gf( a[ 15 ], 1);
val ^= mul_gf( a[ 14 ], 192);
.....
val ^= mul_gf( a[ 8 ], 1);

return val;
```

Подход применен в [2, 6, 9, 10, 11, 12]

Предлагаемый вариант (II изменение)

```
BYTE ConversionL(ULONGLONG block[ 2 ])
BYTE res = 0;
for (BYTE i = 0; i < 8; i += 1)
{
    x = block[ 0 ] >> (i << 3);
    y = aucKoeff[ i ];
    res ^= x * (y & 1);
    x = (x << 1) ^ (0xC3 * ((x) >> 7));
    if (y & 0x02)
        res ^= x;
    x = (x << 1) ^ (0xC3 * ((x) >> 7));
    .....
    if (y & 0x40)
        res ^= x;
    x = (x << 1) ^ (0xC3 * ((x) >> 7));
    if (y & 0x80)
        res ^= x;

    x = block[ 1 ] >> (i << 3);
    y = aucKoeff[i + 8];
    .....
}
return res;
```

Условия исследования реализаций L

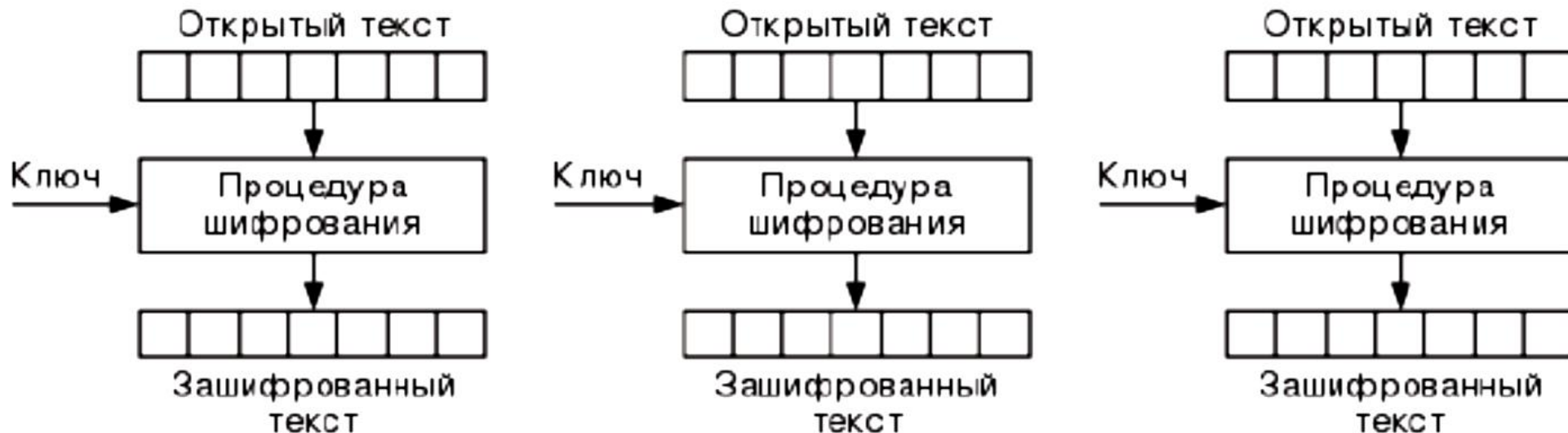
Введем обозначения и условия, на которых проведем исследование:

- $L_{Таб}$ – преобразование L с предвычисленной таблицей;
- $L_{Алг}$ – преобразование L , вычисляется алгоритмически;
- $L'_{Алг}$ – преобразование L , вычисляется алгоритмически предложенным методом;

Алгоритм	ГОСТ Р 34.12 2015
Режим шифрования	<i>ECB</i>
Входной блок	128 бит
Ключ K	32 байта
Таблица S	256 байт
Таблица L	65 536 байт
Количество потоков шифрования	1

Режим *ЕСВ*

- *ЕСВ* – режим электронной кодовой книги.
- Каждый блок шифруется независимо от других блоков.
- Шифрование: $C_i = E_k (P_i, k)$
- Дешифрование: $P_i = D_k (C_i, k)$



Экспериментальное исследование на различных вычислительных системах

Характеристики $L_{Алг}$, $L'_{Алг}$, $L_{Таб}$ были исследованы на:

- ЭВМ *Intel® Core™ i7-8700K CPU @3.70 GHz / 8 Tb*
- Микроконтроллер *STM32 F103 C8T6*, **72 МГц**, отсутствует конвейер. Далее *F103*.
- Микроконтроллер *МИЛАНДР 1986BE92У*, **80 МГц**, отсутствует конвейер. Далее *92У*.
- Микроконтроллер *ELVEES 1892BM15Ф*, **120 МГц**. Далее *15Ф*.

Результаты вычислительного эксперимента

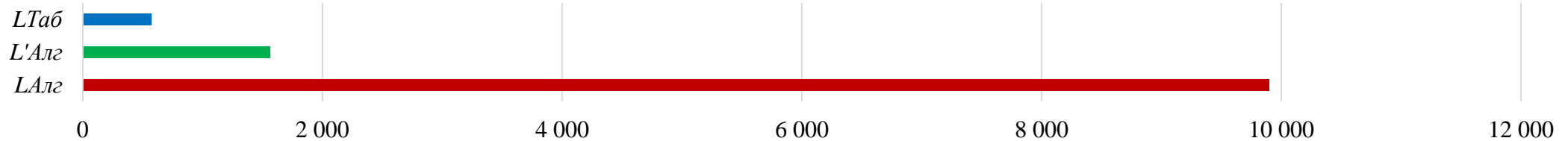
- ЭВМ *InWin MidiTower ATX / Power Intel® Core™ i7-8700K CPU @ 3.70 GHz / 8 Tb*

Данные, 1 МБайт	$L_{Алг}$	$L'_{Алг}$	$L_{Таб}$
Такты, <i>getTickCount()</i>	9 894	1014	573
Время, сек	9,894	1,014	0,573
Скорость, Кбайт/сек.	103,49	1009,86	1787,08
Скорость, Кбит/сек.	827,97	8078,89	14296,68
Сегмент кода, байт	8 289	8 259	8 272
Сегмент памяти, байт	835	851	66 371

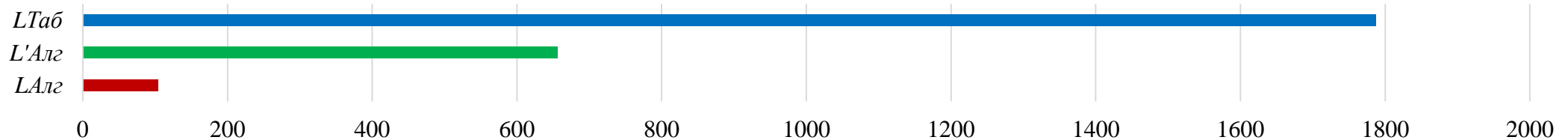
Результаты

- ЭВМ *InWin MidiTower ATX / Power Intel® Core™ i7-8700K CPU @ 3.70 GHz / 8 Tb.*

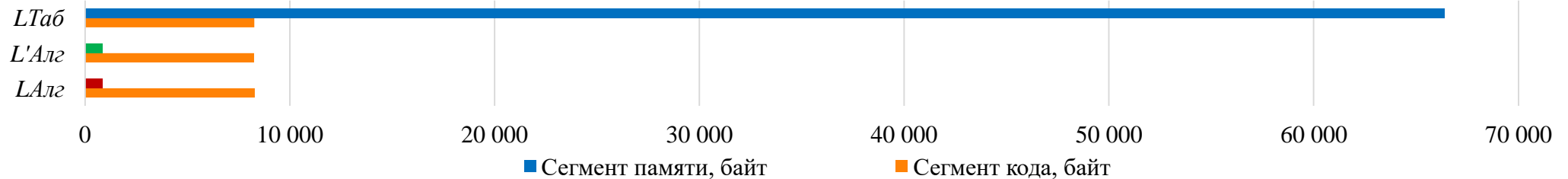
Количество тактов



Скорость, Кбит/сек.



Размер сегментов



Результаты

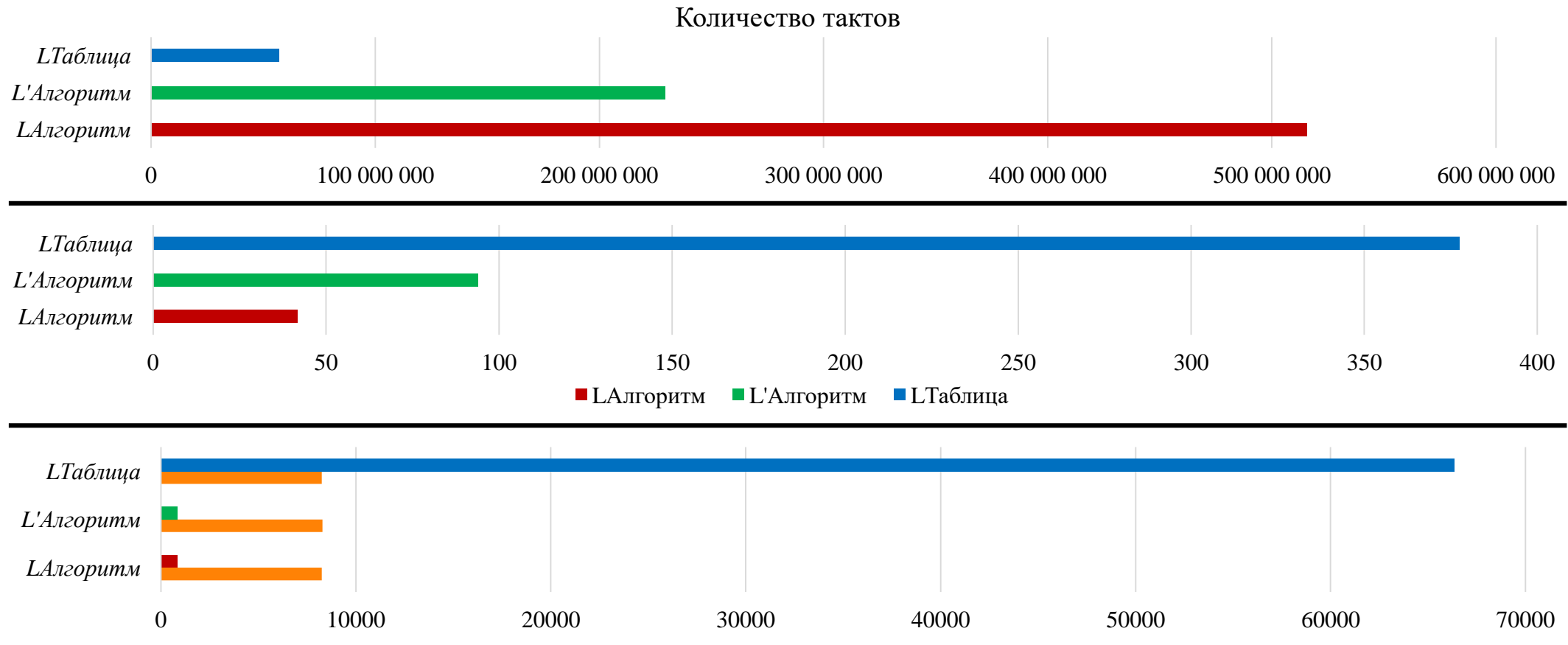
- Микроконтроллер *STM32 F407 VGT6*, 168 МГц

Данные, 1 Кбайт	$L_{Алг}$	$L'_{Алг}$	$L_{Таб}$
Такты, DWT	515 658 771	229 309 463	56 953 880
Время, сек.	3,07	1,36	0,34
Скорость, Кбайт/сек.	5,21	11,72	47,20
Скорость, Кбит/сек.	41,70	93,77	377,57
Сегмент кода, байт	8245	8289	8245
Сегмент памяти, байт	835	851	66371

Результаты

- Микроконтроллер *STM32 F407 VGT6*, 168 МГц

Сравнение количества тактов, скорости и потребления памяти.



Результаты

- Микроконтроллер *STM32 F103 C8T6*, 72 МГц, Flash/RAM 64К/20К

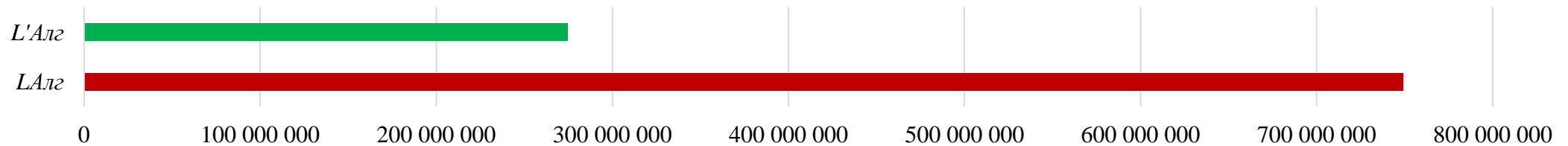
Данные, 16 КБайт	$L_{Алг}$	$L'_{Алг}$
Такты, DWT	749 019 163	274 434 073
Время, сек.	10,40	3,81
Скорость, Кбайт/сек.	1,53	4,19
Скорость, Кбит/сек.	12,30	33,58
Сегмент кода, байт	12 707	12 723
Сегмент памяти, байт	957	965

Технические характеристики не позволяют использовать $L_{Таб}$

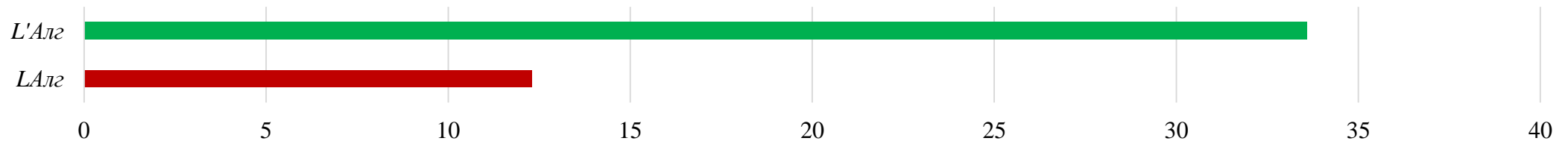
Результаты

- Микроконтроллер *STM32 F103 C8T6*, 72 МГц, Flash/RAM 64К/20К
- Сравнение количества тактов, скорости и потребления памяти.

Количество тактов



Скорость, Кбит/сек.



Размеры сегментов, байт



Результаты

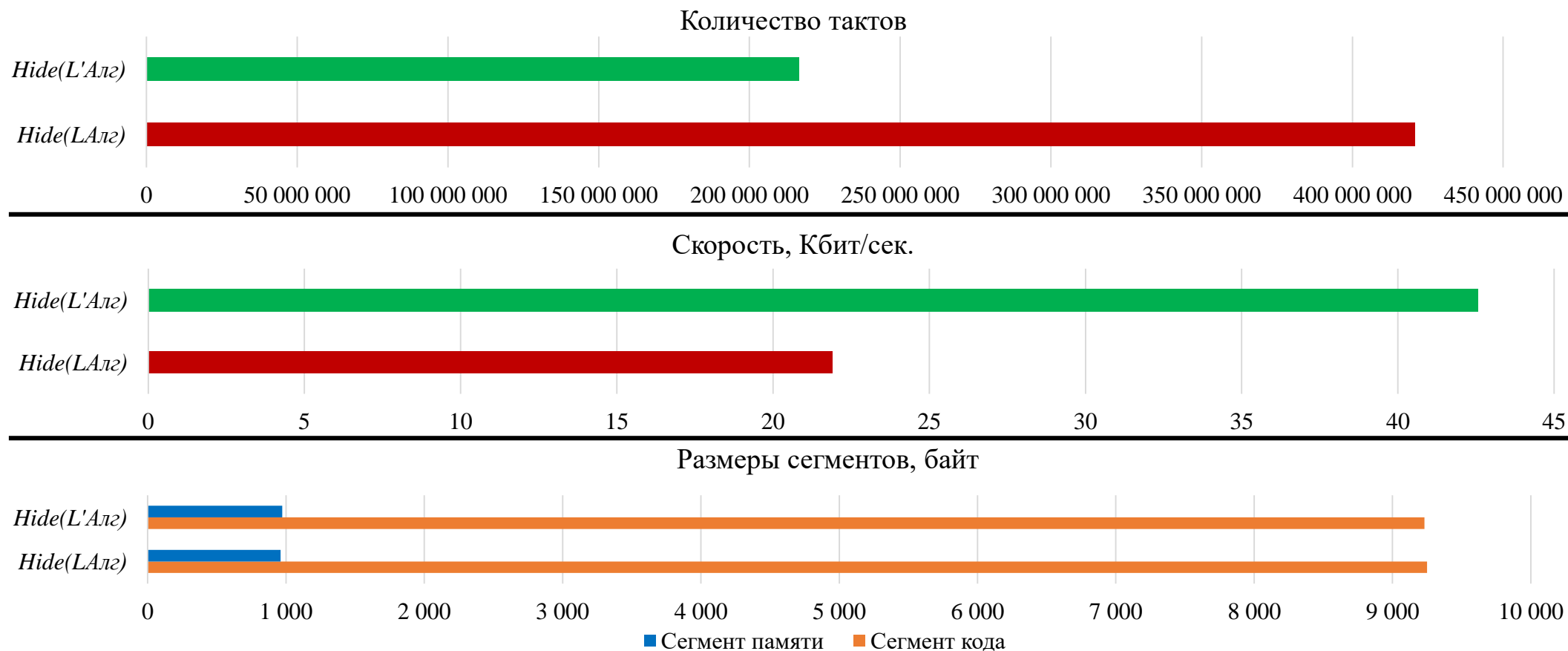
- Микроконтроллер *STM32 F103 C8T6*, 72 МГц, *Flash/RAM* 64К/20К

Данные, 16 КБайт	<i>Hide(L_{Алг})</i>	<i>Hide(L'_{Алг})</i>
Такты, <i>DWT</i>	420 724 737	216 525 826
Время, сек.	5,84	3,00
Скорость, Кбайт/сек.	2,73	5,32
Скорость, Кбит/сек.	21,90	42,56
Сегмент кода, байт	9 251	9 231
Сегмент памяти, байт	961	973

*Применим сбалансированную оптимизацию компилятора *IAR Embedded Workbench IDE*.

Результаты

- Микроконтроллер *STM32 F103 C8T6*, 72 МГц, *Flash/RAM* 64К/20К
- Сравнение количества тактов, скорости и потребления памяти.



*Применим сбалансированную оптимизацию компилятора *IAR Embedded Workbench IDE*.

Результаты

- Микроконтроллер *МИЛАНДР 1986BE92У*, 80 МГц, *Flash/RAM 128К/32К*

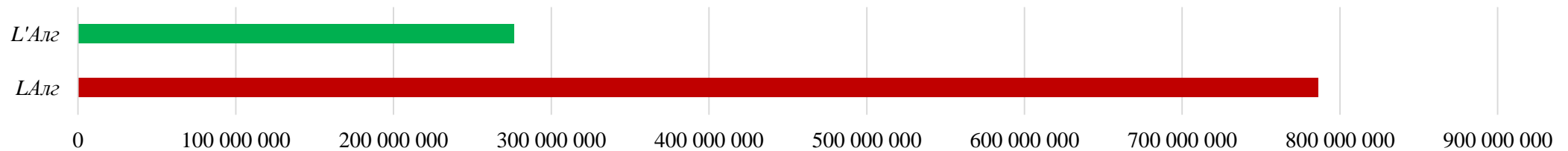
Данные, 16 КБайт	$L_{Алг}$	$L'_{Алг}$
Такты, DWT	786 090 492	276 595 715
Время, сек.	9,82	3,45
Скорость, Кбайт/сек.	1,62	4,62
Скорость, Кбит/сек.	13,02	37,02
Сегмент кода, байт	6 549	6 593
Сегмент памяти, байт	581	597

Технические характеристики не позволяют использовать $L_{Таб}$

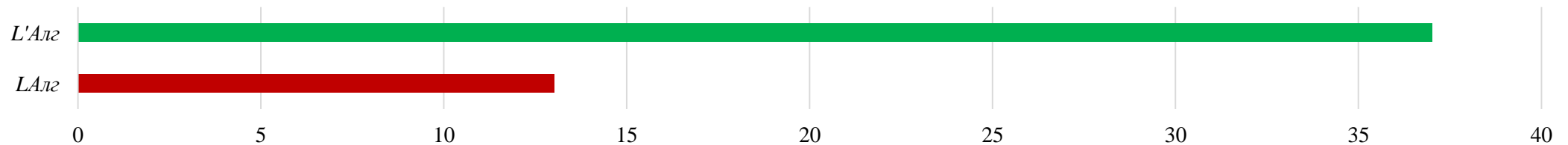
Результаты

- Микроконтроллер *МИЛАНДР 1986BE92У*, 80 МГц, *Flash/RAM 128К/32К*
Сравнение количества тактов, скорости и потребления памяти.

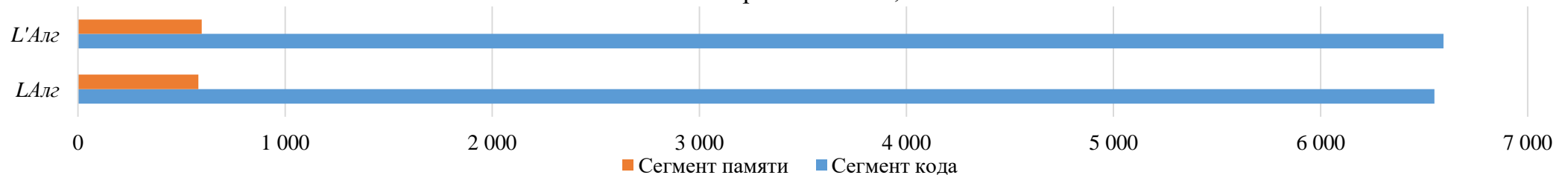
Количество тактов



Скорость, Кбит/сек.



Размеры сегментов, байт



Результаты

- Микроконтроллер *МИЛАНДР 1986BE92У*, 80 МГц, *Flash/RAM 128К/32К*

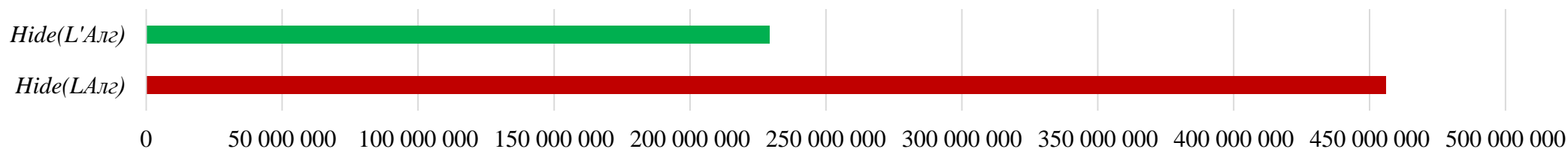
Данные, 16 КБайт	$Hide(L_{Алг})$	$Hide(L'_{Алг})$
Такты, <i>DWT</i>	456 046 411	229 310 464
Время, сек.	5,70	2,86
Скорость, Кбайт/сек.	2,80	5,58
Скорость, Кбит/сек.	22,45	44,65
Сегмент кода, байт	5 171	4 147
Сегмент памяти, байт	581	569

*Применим сбалансированную оптимизацию компилятора *IAR Embedded Workbench IDE*.

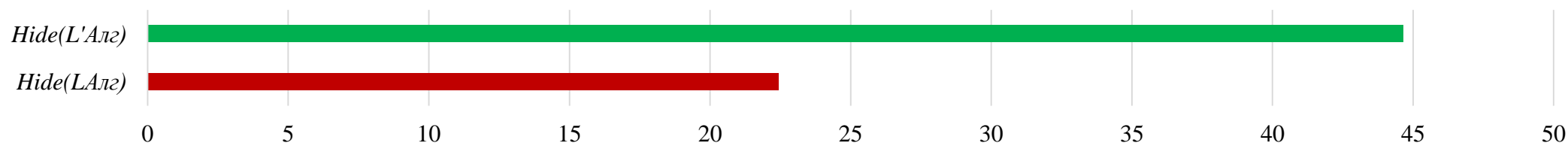
Результаты

- Микроконтроллер *МИЛАНДР 1986ВЕ92У*, 80 МГц, *Flash/RAM 128К/32К*
Сравнение количества тактов, скорости и потребления памяти.

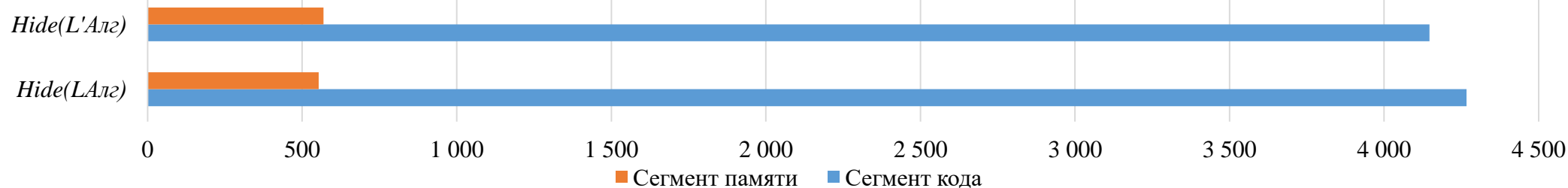
Количество тактов



Скорость, Кбит/сек.



Размеры сегментов, байт



*Применим сбалансированную оптимизацию компилятора *IAR Embedded Workbench IDE*.

Результаты

- Микроконтроллер *ELVEES 1892BM15Ф*, 120 МГц.

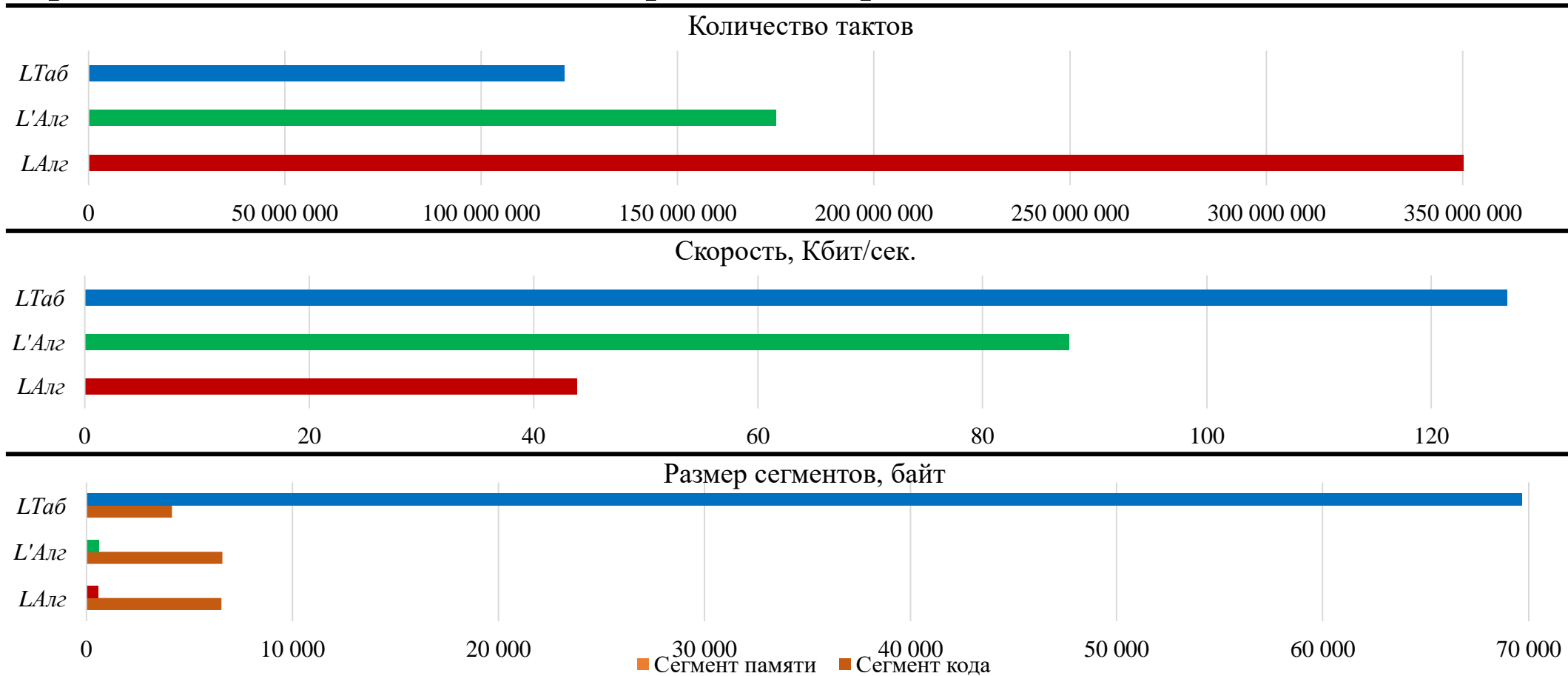
Данные, 16 КБайт	$L_{Алг}$	$L'_{Алг}$	$L_{Таб}$
Такты	350 219 578	175 109 789	121 146 388
Время, сек.	2,918496483	1,459248242	1,009553233
Скорость, Кбайт/сек.	5,482274894	10,96454979	15,84859468
Скорость, Кбит/сек.	43,85819916	87,71639831	126,7887574
Сегмент кода	6 549	6 593	4 147
Сегмент памяти	581	597	69 683

*Применим оптимизацию -O2 компилятора MS Studio 4 (2019.07.175)

Результаты

- Микроконтроллер *ELVEES 1892BM15Ф*, 120 МГц.

Сравнение количества тактов, скорости и потребления памяти.



*Применим оптимизацию -O2 компилятора MS Studio 4 (2019.07.175)

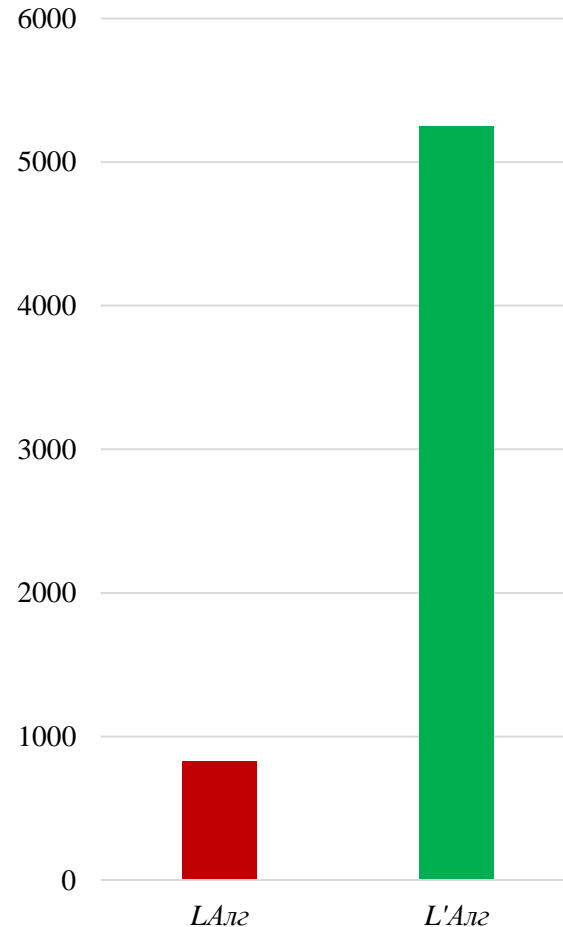
Заключение

- Предложен **экономичный** вариант алгоритмического **умножения в поле Галуа** в преобразования L .

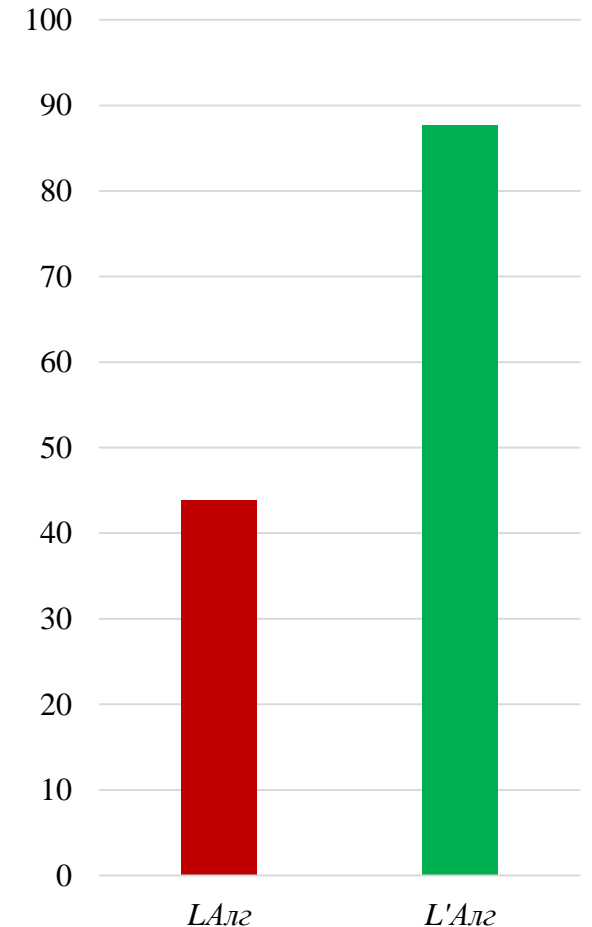
- **Не требуется** хранить таблицу предвычислений 64 Кбайт.

Тем самым, объём сегмента памяти **уменьшен в 78 раз**.

Скорость кбит/с,
ЭВМ Intel Core i7-8700 3.70 GHz



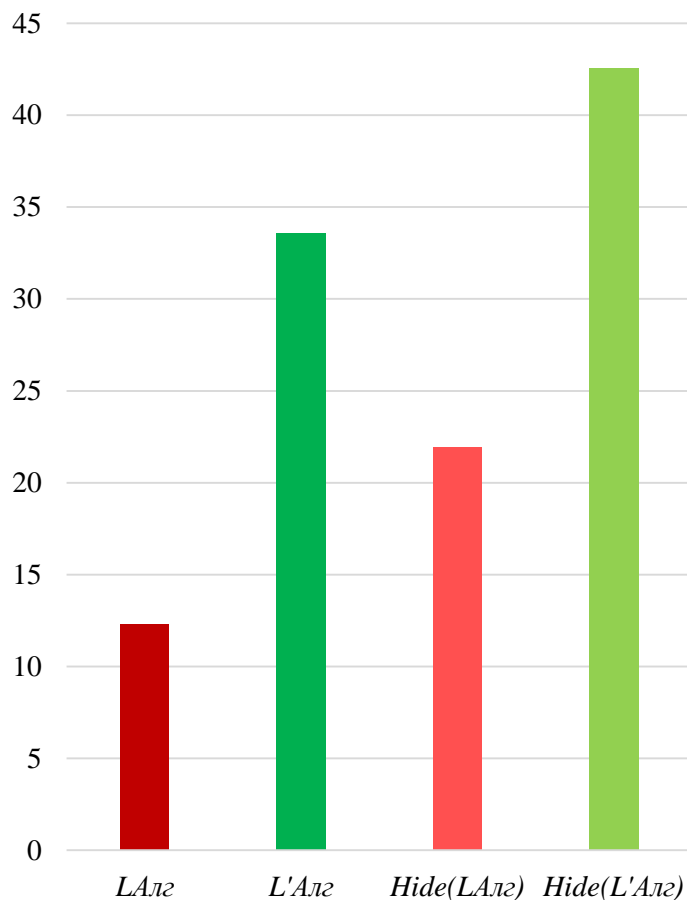
Скорость кбит/с,
1892BM15Ф



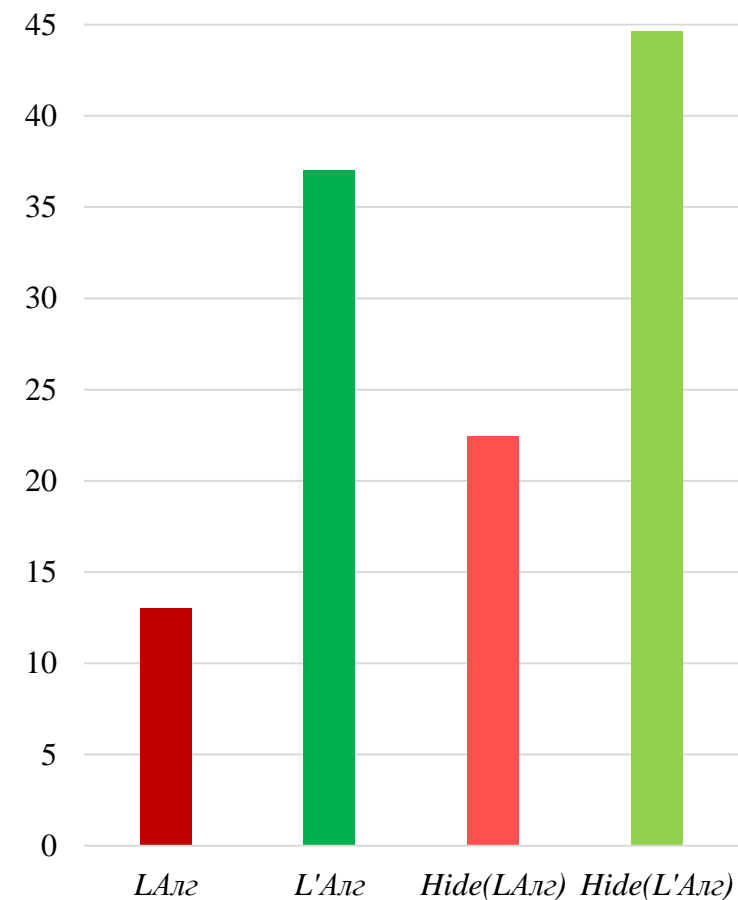
Заключение

- Предложенный вариант реализуем на микроконтроллерах с ограниченными ресурсами;
- Предложенный вариант **независим** от введения **нового** полинома и коэффициентов умножения.

Скорость кбит/с, на *STM F103 C8T6*
L - без оптимизации
Hide(L) - с оптимизацией



Скорость кбит/с, на *1986BE92У*
L - без оптимизации
Hide(L) - с оптимизацией



Заключение

- Предложенный вариант для ЭВМ L'_A по сравнению с L_A , позволяет достичь экономии времени на **90%**, т. е. L'_A быстрее L_A в **10 раз**.
- Предложенный вариант для микроконтроллеров: L'_A быстрее L_A в **2-3 раза**.
- **На графических процессорах** L'_A не требует взаимодействия с памятью. Таким образом применив L'_A можно получить результат не ниже существующего.
- Полученные в ходе исследования результаты применимы **в других** вычислительных методах, использующие умножение в поле Галуа.
- Метод применим для **большой степени** неприводимого многочлена.

Благодарю за внимание!